

Таким образом, для номинально чистых кристаллов RZC температурная зависимость  $P_s$ , также хорошо согласуется с термодинамической теорией, как ранее было показано для селената калия [4].

С целью проверки высказанного ранее предположения о влиянии дефектов на ширину температурной области выполнимости закона «степени двух третей» для  $P_s$  (см. формулу (2)) были проведены аналогичные описаным выше исследования образцов RZC с дефектами, введенными рентгеновским облучением.

Из рис. 3 видно, что введение радиационных дефектов в кристалл заметно изменяет температурный ход  $P_s$  и сужает тем-

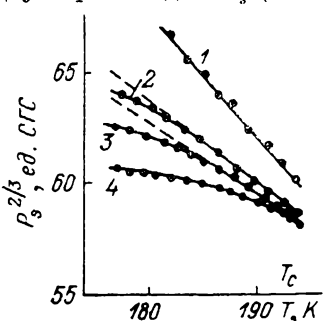


Рис. 3. Температурные зависимости  $P_s^{2/3}$  кристалла  $\text{Rb}_2\text{ZnCl}_4$  после разлпчных доз рентгеновского облучения.

1 — необлученный образец, 2 — 0.5, 3 — 1.5, 4 — 5 крд.

пературную область выполнимости закона «степени двух третей» вплоть до исчезновения линейного участка зависимости  $P_s^{2/3}(T)$  при максимальной использованной дозе облучения (5 крд.). Такое поведение  $P_s$  может быть связано с увеличением числа стопоров, закрепляющих доменные стенки в облученных кристаллах; с этими же причинами, видимо, связано и некоторое общее снижение в них  $P_s$ .

В заключение отметим, что нами не было обнаружено заметного искажения петли диэлектрического гистерезиса для образцов с максимальной дозой облучения.

#### Л и т е р а т у р а

- [1] Дронов И. А. Автореф. канд. дис. Воронеж, ВПИ, 1983. 12 с.
- [2] Sorge G., Maack H., Shuvakov L. A. Phys. St. Sol. (a), 1986, vol. 93, N 1, p. 315—320.
- [3] Санников Д. Г., Головко В. А. ФТТ, 1984, т. 26, № 4, с. 1117—1123.
- [4] Гладкий В. В., Джабраилов А. М., Кириков В. А., Бражина В., Желудев И. С. ФТТ, 1986, № 8, т. 28, с. 2397—2401.

Воронежский политехнический институт  
Воронеж

Поступило в Редакцию  
16 сентября 1987 г.

УДК 621.793.162 : 537.612.2

Физика твердого тела, том 30, в. 2, 1988

Solid State Physics, vol. 30, № 2, 1988

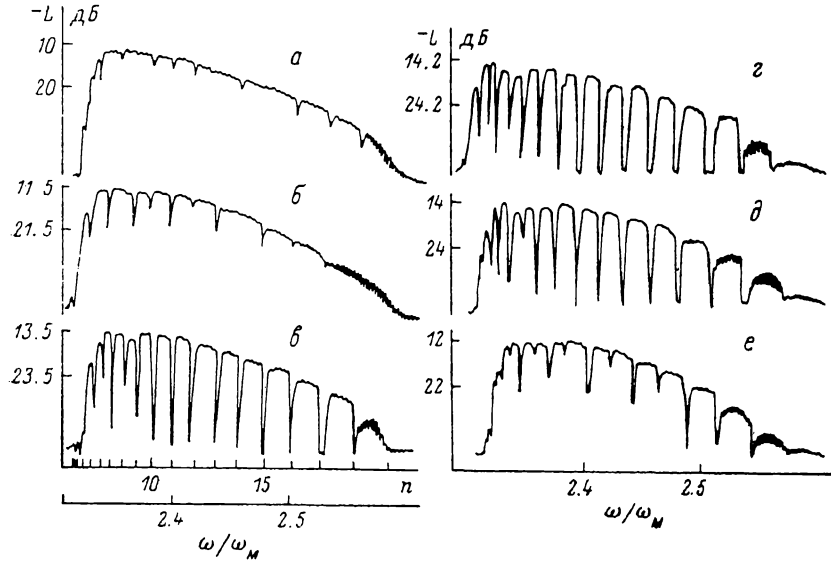
## О РАСПРОСТРАНЕНИИ ПОВЕРХНОСТНЫХ СПИНОВЫХ ВОЛН В ИОННОИМПЛАНТИРОВАННЫХ ЭПИТАКСИАЛЬНЫХ ГРАНАТОВЫХ ПЛЕНКАХ

Ю. М. Яковлев, Е. Г. Ржихина,  
Т. А. Крылова, С. В. Яковлев,  
Г. М. Новиков

Дисперсия и амплитудно-частотные характеристики (АЧХ) поверхностных спиновых волн (ПСВ) существенно изменяются при переходе от однослоиной к многослойной структуре [1, 2]. Одним из методов получения многослойных структур служит ионная имплантация (ИИ). При ИИ в зависимости от энергии  $E$  ионов на глубине  $x$  образуется имплантированный слой  $\delta$  с отличающимися от основного физическими параметрами: намагниченностью насыщения, константой кристаллической анизотропии и тем-

пературой Кюри. Кроме этого, изменяются условия «закрепления спина» на поверхности пленки. Все это существенно влияет на условия распространения ПСВ в имплантированных структурах.

Целью настоящей работы явилось изучение влияния ИИ на распространение поверхностных спиновых волн в пленках иттриевого феррограната  $Y_3Fe_5O_{12}$ , выращенных методом жидкофазной эпитаксии на подложках из гадолиний-галлиевого граната ориентации (111). Имплантация ионов  $Ne^+$  с энергией 175 кэВ и различной дозой осуществлялась по всей поверхности образца. АЧХ ПСВ измерялись с помощью возбуждающей системы в виде двух отрезков микрополосковой линии, расположенных на расстоянии 3 мм друг от друга. Исследовались образцы размечены  $4 \times 8$  мм, вырезанные из ИИ пленки толщиной 3.36 мкм таким образом что спиновая волна распространялась вдоль кристаллографической оси  $\langle 110 \rangle$ .



Амплитудно-частотные характеристики поверхностных спиновых волн для пленок иттриевого ферро-граната.

*a* — неимплантированного, *б* — имплантированного ионами  $Ne^+$  с энергией 175 кэВ и дозой  $D=2 \cdot 10^{13} \text{ см}^{-2}$ , *в* —  $D=5 \cdot 10^{13} \text{ см}^{-2}$ , *г* —  $D=10^{14} \text{ см}^{-2}$ , *д* —  $D=2 \cdot 10^{14} \text{ см}^{-2}$ , *е* —  $D=4 \cdot 10^{14} \text{ см}^{-2}$ .

На рис. приведены амплитудно-частотные характеристики поверхностных спиновых волн, соответствующие различным режимам имплантации образцов. Видно, что ИИ приводит к появлению в АХЧ спиновой волны регулярных «резонансных» минимумов большой амплитуды. По мере возрастания дозы  $D$  имплантации глубина минимумов увеличивается достигая при дозе  $5 \cdot 10^{13} \text{ см}^{-2}$  величины  $\approx 40$  дБ. Затухание спиновой волны также растет при возрастании дозы (с 10 до 14 дБ для  $f=4.1$  ГГц при возрастании дозы до  $D=2 \cdot 10^{14} \text{ см}^{-2}$ . Ширина «резонансных» минимумов, измеренная на уровне 25 дБ при дозе  $D=5 \cdot 10^{13} \text{ см}^{-2}$ , изменилась от 5 МГц для  $n=5$  до 11 МГц для  $n=12$ . Расстояние между соседними минимумами возрастает по мере роста частоты. Известно, что ИИ вызывает деформацию кристаллической решетки. В результате ИИ слой оказывается в напряженном состоянии, что приводит к появлению дополнительной локальной анизотропии вследствие обратного эффекта магнитострикции [1]. Изменение анизотропии имплантированного слоя может привести к трансформации поверхностной спиновой волны, появлению составляющей, направленной перпендикулярно поверхности пленки [3], а также эффекту «закрепления» поверхностных спинов. Это в свою очередь может вызвать спин-волновой резонанс (СВР) по толщине пленки. Частоты стоячих спиновых волн можно рассчитать по формуле [4]

$$\begin{aligned}\omega_H &= \Omega_H (\Omega_H + \omega_M), \\ \Omega_H &= \omega_H + \omega_M \alpha \kappa_n^2, \\ \omega_M &= \gamma \mu_0 M_0, \quad \kappa_n = n\pi/h, \quad \omega_H = \gamma \mu_0 H_i,\end{aligned}\tag{1}$$

где  $\mu_0$  — магнитная проницаемость вакуума,  $M_0 = 140$  кА/м = 1750 Э — намагниченность насыщения иттриевого граната,  $\gamma$  — гиromагнитное отношение,  $h$  — толщина пленки,  $H_i$  — внутреннее поле,  $\alpha = 3 \cdot 10^{-12}$  см<sup>2</sup> — постоянная неоднородного обмена. Внутреннее поле  $H_i$  рассчитывалось из формулы для частоты нижней границы возбуждения спиновой волны

$$\omega_{\text{в. гр}} = \sqrt{\omega_H (\omega_H + \omega_M)}.\tag{2}$$

Величина  $\omega_{\text{в. гр}}$  определялась экспериментально (см. рисунок). На рисунке 1 приведены рассчитанные по формуле (1) частоты стоячих спиновых волн с указанием порядкового номера СВР  $n$  и АХЧ ПСВ при дозе  $D = 5 \cdot 10^{13}$  см<sup>-2</sup>. Видно, что частоты резонансных минимумов в АХЧ спиновой волны, распространяющейся в имплантированной пленке, хорошо согласуются с рассчитанными частотами стоячих спиновых волн.

Таким образом, можно предположить, что имплантация изменяет условия «закрепления спина» на поверхности, что приводит к возбуждению спин-волнового резонанса поверхностью спиновой волны.

В заключение авторы благодарят Д.-Т. А. Урbonаса за ионную имплантацию образцов.

#### Л и т е р а т у р а

- [1] Рандошкин В. В. Радиоэлектроника за рубежом, 1983, № 8 (980), с. 1—34.
- [2] Башковский А. В., Стальмахов А. В. Радиотехника и электроника, 1984, т. 29, № 5, с. 901—907.
- [3] Гуляев Ю. В., Зильберман П. Е., Луговской А. В. ФТТ, 1977, т. 19, № 12, с. 3409—3414.
- [4] Калиникос Г. А. Изв. вузов, Физика, 1981, т. 24, № 8, с. 42—56.

Поступило в Редакцию  
14 апреля 1987 г.  
В окончательной редакции  
17 сентября 1987 г.

УДК 537.8

*Физика твердого тела, том 30, с. 2, 1988*  
*Solid State Physics, vol. 30, № 2, 1988*

## О ПОЛНОМ ПРОХОЖДЕНИИ ЭЛЕКТРОМАГНИТНЫХ ВОЛН ЧЕРЕЗ СТРУКТУРУ С АНТИФЕРРОМАГНИТНЫМ СЛОЕМ

P. Г. Тарханян

Недавно в [1, 2] было обращено внимание на то, что неоднородный слой плотной плазмы может оказаться полностью прозрачным для падающей  $p$ -поляризованной волны из-за возбуждения на скачках плотности поверхностных электромагнитных волн ТН-типа, тогда как  $s$ -поляризованная волна не проникает через слой. Настоящая работа имеет своей целью показать возможность аналогичного, но прямо противоположного явления: полного просветления двухслойной структуры антиферромагнитный диэлектрик — немагнитное вещество (например, гетероструктуры  $Cd_{1-x}Mn_xTe - CdTe$ ) при падении именно (и только)  $s$ -поляризованной волны, частота которой лежит в области непрозрачности антиферромагнетика. Это явление сопровождается резонансным возбуждением поверхности антиферромагнитной волны ТЕ-типа, распространяющейся вдоль